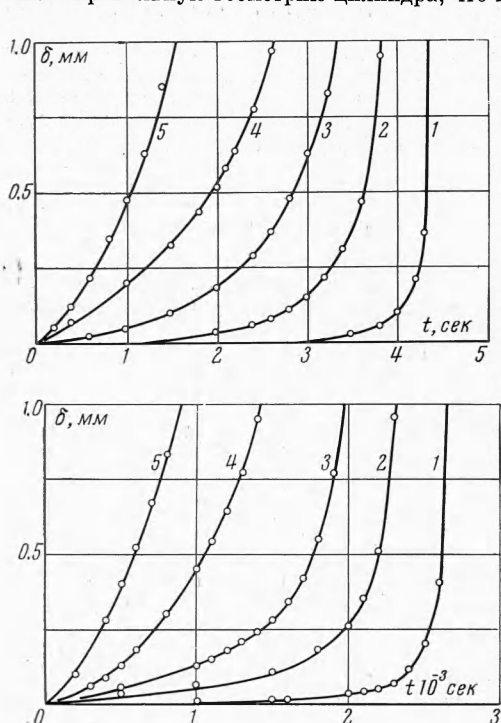


О ВЫПУЧИВАНИИ ВНЕЦЕНТРЕННО НАГРУЖЕННОГО СТЕРЖНЯ ПРИ ПОЛЗУЧЕСТИ

Н. Г. Торшенов (Новосибирск)

Ряд экспериментаторов, проводивших исследования по выпучиванию стержней при повышенных температурах [1-3], отмечают существенный разброс экспериментальных значений критического времени. В предлагаемой работе сделана попытка объяснить наблюдавшиеся экспериментальные разбросы за счет эксцентричности в приложении нагрузки.

Эксперименты проводились на установке, описанной ранее [4], при $250 \pm 1^\circ\text{C}$. Образцы изготавливались из прутков дюралюмина марки Д16Т диаметром 14 мм в состоянии поставки. Образцы диаметром 7 мм и гибкостями от $\lambda = 35$ до $\lambda = 81$ имели правильную геометрию цилиндра, что проверялось на инструментальном микроскопе с точностью 0.001 мм. Шарнирное опирание образцов осуществлялось при помощи стальных каленых наконечников, прорезь в которых задавала эксцентрикитет величиной от минимально технически возможного до 1.42 мм. Тщательно измеренный на микроскопе образец устанавливался в испытательную установку на ножки, имеющие угол 75° и радиус закругления менее 0,01 мм. Ножки выставлялись строго по оси приложения нагрузки. Перемещение средней части образца через инваровый рычажок и кварцевый стержень замерялось микронным индикатором и регистрировалось во времени кинокамерой РФК-1м. Рычажок с передаточным отношением 5 : 1 и крестовым шарниром применен для уменьшения усилия, создаваемого пружиной индикатора на образец. Нагрузка прикладывалась после 20-минутного прогрева и увеличивалась по линейному закону со скоростями от 0.0045 до 4 кгс/мм² сек.



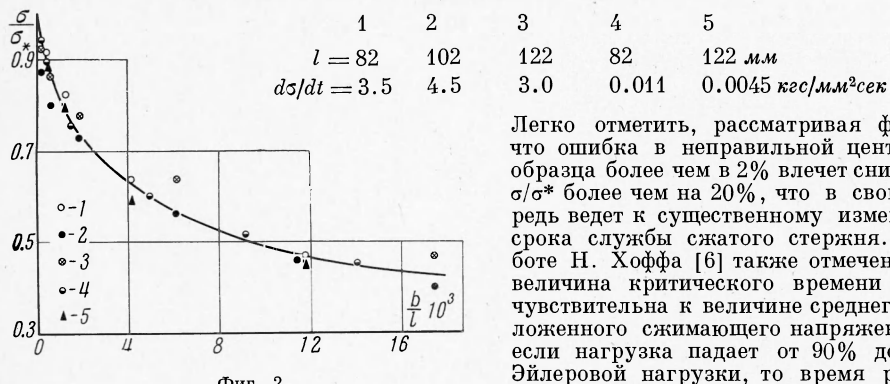
Фиг. 1

Следует уточнить, что за нулевой эксцентрикитет принята величина, доступная для оценки на микроскопе с разрешающей способностью 0.001 мм. О точности установки образца в испытательной машине можно судить еще и по тому, что с ростом нагрузки прогиб начинает появляться при нагрузках, составляющих 75 ± 85% от разрушающей независимо от скорости нагружения. Аналогичные диаграммы получены при других гибкостях и скоростях нагружения. За время разрушения принималась величина, соответствующая обращению скорости прогиба в бесконечность.

Следует отметить весьма интересный экспериментальный факт, который легко установить из рассмотрения фиг. 1, и аналогичных им с другими скоростями нагружения: отношение t/t_0^* и t/t_k^* для любого фиксированного значения прогиба и эксцентрикитета остается практически постоянным, т. е. кривые зависимости $\delta = f(t)$, построенные в координатах $\delta - t/t_k^*$, совпадают. Введенные выше обозначения таковы: t — текущее время; t_0^* — время до разрушения с нулевым эксцентрикитетом и самой быстрой для данной серии скоростью нагружения; t_k^* — время до разрушения образца с нулевым эксцентрикитетом и некоторыми другими скоростями нагружения, соответствующими индексу k . Аналогичные построения можно сделать и для стержней со значениями гибкостей $\lambda = 35, 5, 47, 57, 70, 81$. Если строить экспериментальные данные в переменных δ/λ и t/t_k^* , то все кривые будут группироваться около кривой, соответствующей заданному эксцентрикитету, не зависимо от длины стержня и склонности.

ности нагружения в исследованном в работе интервале. Отсюда следует, что процесс ползучести, имеющий место при малых скоростях нагружения, не влияет на качественную картину изменения прогиба от величины эксцентрикитета приложения нагрузки.

На величину разрушающей нагрузки эксцентричность влияет существенно. Это обстоятельство было отмечено еще Карманом [5] для упруго-пластических нецентрических нагруженных стержней малых и средних величин гибкостей. Такая же картина наблюдается и в опытах, проводимых на стержнях, подвергнутых продольному изгибу при ползучести. Под разрушающей нагрузкой понимается нагрузка в момент времени, когда скорость прогиба стремится к бесконечности. При этом уменьшения нагрузки не происходит из-за достаточной упругости испытательной установки. Если построить график зависимости разрушающего напряжения от эксцентрикитета, то получится серия ниспадающих кривых, причем кривизна их спада в области малых эксцентрикитетов уменьшается с увеличением длины стержня. А если построить экспериментальные данные в переменных σ/σ_{ik}^* , $-b/l$ где звездочка указывает величину разрушающего напряжения при нулевом эксцентриките для стержня гибкости λ_i и некоторой скорости нагружения k , а b и l — соответственно эксцентрикитет и длина стержня, то все они будут группироваться около одной кривой на фиг. 2. На фиг. 2 экспериментальным точкам соответствуют условия



Фиг. 2

всех значений эксцентрикитетов. Исходя из этого, напрашивается вывод: постановка экспериментов на продольный изгиб должна быть не ниже первого класса, т. е., в частности, отклонение точки приложения силы от геометрической оси стержня не должно превышать 1% от линейных размеров его поперечного сечения.

Поступила 19 I 1966

ЛИТЕРАТУРА

- Джерард Д., Папирно Р. Классические стержни и ползучесть. Механика. Сб. перев. и обз. ин. период. лит., 1963, № 1.
- Кузнецов А. П. Устойчивость сжатых стержней из дуралюмина в условиях ползучести. ПМТФ, 1964, № 6.
- Jahsiman W., Field F. Comparison of theoretical and experimental creep — buckling times of initially straight, centrally loaded columns. J. A. S, 1962, vol. 29, No. 4.
- Торшенов Н. Г. Машина для испытания стержней на устойчивость при ползучести. Заводск. лаборатория, 1964, № 12.
- Кагман Т. Untersuchungen über Knickfestigkeit. Mitt. Forschungsarb. d. V. D. I, 81, Berlin, 1909.
- Хофф Н. Продольный изгиб и устойчивость. Изд. иностр. лит., 1955.

УСТОЙЧИВОСТЬ ЦИЛИНДРИЧЕСКИХ ОБОЛОЧЕК
ПРИ ПОЛЗУЧЕСТИ

Н. М. Матченко (Тула)

Методы теории устойчивости при малых упруго-пластических деформациях [1] обобщаются на исследование устойчивости оболочек при ползучести. Приводятся экспериментальные данные, а также сравнение расчетных и экспериментальных результатов.

1. Рассматривая устойчивость сжатой по торцам цилиндрической оболочки, будем полагать, что свойства ползучести материала при потере устойчивости зависят